

## 血清 3, 5, 3'-Triiodothyronine 測定을 위한 酵素—免疫 分析의 開發 研究

李 姬 珠

德成女子大學

(Received February 15, 1983)

Hee Joo Lee

Faculty of Pharmacy, Duk Sung Women's College, Seoul 132, Korea

### Development of Homogeneous Enzyme Immunoassay for Serum 3, 5, 3'-Triiodothyronine Determination

**Abstract**—For development of EMIT-T<sub>3</sub> assay, the conjugation of 3, 5, 3'-triiodothyroformic acid NHS ester to G6PDH was attempted in various reaction conditions. Up to now, the best conjugation condition was the ratio of T<sub>3</sub>-NHS:G6PDH=100 in 25% carbitol-Tris buffer at pH 9, 0°C during overnight. The obtained T<sub>3</sub>-G6PDH conjugates usually had 20% residual enzyme activity which was inhibited by 40~70 % with various anti-T<sub>3</sub> antibodies. Utilizing the conjugate I and an antibody (S2633G), a useful standard curve for T<sub>3</sub> assay was obtained in the range of 0 to 5ng/ml with 499 EMIT units of separation.

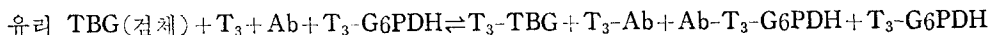
甲狀腺에서 分泌되는 호르몬은 L-thyroxine (T<sub>4</sub>)과 3, 5, 3'-triiodo-L-thyronine (T<sub>3</sub>)이다. 血中 T<sub>4</sub>는 대부분 血漿단백질들 즉 thyroid binding globulin (TBG, 혈중 T<sub>4</sub> 75%가 TBG에 결합되어 있음), thyroid binding prealbumin(TBPA, 15%), 그리고 血清 albumin(10%)등에 결합되어 不活性 상태로 循環하며(總 T<sub>4</sub>의 99.9%), 소량만이 活性型 遊離 T<sub>4</sub>로 순환하고 있다(0.025 %). T<sub>3</sub>는 90%가 T<sub>4</sub>로 부터 형성되며, 代謝가 빠른 것으로 보아 갑상선 호르몬 기능을 나타내는 主活性物質로 고려되고 있다.

현재 甲狀腺 機能異常 診斷에 중요하게 고려되는 것은 혈중 總 T<sub>4</sub>量(正常 8.4μg/100ml), T<sub>3</sub>量(正常 0.12μg/100ml) 및 thyroid 호르몬과 결합하지 않고 남아 있는 TBG量(이후 遊離 TBG라 함)등이다.<sup>1)</sup> 신체 血中 활성형 유리 T<sub>4</sub>量이 호르몬 기능 異常과 직접적인 관계가 있다고 생각되나, 이는 量이 너무 적어서(正常 유리 T<sub>4</sub> 2.1ng/100ml) 직접 測定할 수 없고, T<sub>4</sub>量과 유리 TBG量의 比로서 나타내 지는 free thyroxine index(FTI, 正常 0.8~2.9)가 診斷에 이용되고 있다.<sup>1,2)</sup>

$$\text{free T}_4 + \text{free TBG} \rightleftharpoons \text{T}_4\text{-TBG} \quad [\text{free T}_4] \propto \frac{[\text{T}_4\text{-TBG}]}{[\text{free TBG}]} \propto \frac{[\text{total T}_4]}{[\text{free TBG}]} = \text{FTI}$$

이들 세가지 要因들 즉 總 T<sub>4</sub>, T<sub>3</sub>, 및 유리 TBG(항응 T<sub>3</sub>-uptake test로 측정됨)가 현재 radio-immunoassay(RIA)法에 의해 分析되고 있다.<sup>1-2)</sup> 그러나 최근 EMIT®(enzyme-multiplied immunoassay technique=homogeneous enzyme immunoassay, Syva Co.) 分析法이 개발되면서, 血中 總 T<sub>4</sub>量은 EMIT®-T<sub>4</sub> 분석법(酵素 malate dehydrogenase, MDH 이용)에 의해 간편하게 측정하





효소활성이 있고 항 T<sub>3</sub>항체에 의해 활성이 감소되는 유효한 T<sub>3</sub>-G6PDH 결합체를 형성하게 되었고, 이를 이용해 T<sub>3</sub>분석을 위한 표준곡선을 얻게 되어 일차적으로 보고하는 바이다.

**實驗 方法**

- 1) 試藥 및 器機—1) 緩衝液 : 0.055M Tris buffer(Trizma® 염기, Sigma사)를 pH 8.1로 조정했다
- 2) 酵素 : Glucose-6-phosphate dehydrogenase(Beckman)을 Tris buffer에 녹여 사용했다.
- 3) 基質 및 補助酵素 溶液 : 0.066M glucose-6-phosphate(G6P), 0.04M nicotinamide adenine dinucleotide 산화형(NAD<sup>+</sup>)은 Tris buffer에 용해시켜 사용했다.
- 4) 3, 5, 3'-Triiodothyronine 標準溶液 : 25, 50, 75 및 100ng/ml(0.05N NaOH 용액)을 제조 필요량을 측정 이용했다.
- 5) 抗 T<sub>3</sub>抗體 : 기존 항체 용액(Table II 참조)을 이용했다.
- 6) 기계—Syva Model 1500 Automatic Pipetter-Diluter, Gilford Stasar® III Spectrophotometer (reading concentration range: EMIT unit 0000~6000=Absorbance 0~2×1000×2.667). 이는 microscale flow cell과 micro computer가 부착되어 있다.

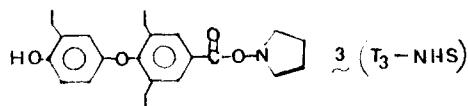
**G6PHD(또는 T<sub>3</sub>-G6PHD 결합체) 활성 측정**—일반적으로 基質·補助효소 용액 50μl(기질 농도와 효소 G6PDH(또는 T<sub>3</sub>-G6PDH 결합체)용액 및 Tris buffer를 첨가해 전체 용액이 1ml 진후 되게 한다. 이 혼합액을 Gilford Stasar III flow cell에 흡입해, 30°C에서 효소반응 시작 10초에서 30초 사이에 반응결과 생성된 NADH의 uv흡수를 340nm에서 측정하여, 효소의 活性도를 비교했다. 酵素量은 효소용액을 Tris buffer로 희석조절하여 위의 反應 조건하에서 uv측정 EMIT unit로 500~1000 범위내에 있게 택했다. 경우에 따라서 각 용액 첨가량을 변화시키며, 그때마다 변화량을 지적해 준다.

**T<sub>3</sub>-G6PDH 결합체의 활성에 대한 抗 T<sub>3</sub>抗體의 抑制試驗**—효소활성 측정시험과 같은 條件下에 一定量의 抗 T<sub>3</sub>抗體를 T<sub>3</sub>-G6PDH 결합체 첨가에 앞서 反應液에 넣어준다. 보통 항체 screening에는 50μl(excess)의 抗體原液을 사용했고, 이 조건에서 얻은 효소 활성을 결합체만의 활성에서 빼서 이 값을 결합체만의 활성에 대한 백분율을 구해 抗體에 의한 抑制 %를 구했다.

**實驗 結果**

**T<sub>3</sub>-G6PDH 결합체(2) 形成 開發**—먼저 3, 5, 3'-triiodothyroformic acid를 G6PDH에 結合하기 위해 N-hydroxysuccinimide의 ester(T<sub>3</sub>-NHS, 3)를 상법에 준해(DCC/THF이용) 合成했다.

최초에 結合은 G6PDH가 다른 藥物들과 결합할 때 쓰이던 조건하에서 시도되었다. 즉 25% carbitol-Tris buffer(pH 8.1)의 용매에 기질·보



조효소(G6P-NADH) 존재하에 효소 G6PDH를 넣고, 이 혼합용액에 T<sub>3</sub>-NHS를 dimethylformamide(DMF)에 녹인 것을 micro-pipetter를 써서 소량씩 첨가해서 反應을 시켰다. 그러나 hydrophobic 성이 큰 T<sub>3</sub>-NHS가 물에 전혀 섞이지 않아서 인지 결합에 성공하지 못했다.

反應條件을 재고려해 T<sub>3</sub>-NHS를 최대한 반응액속에 미르르게 하기 위하여 용액의 pH를 9로 유지하고 溶液의 飽和 조건을 제거하기 위해 기질 및 보조효소를 빼기로 했다. 그리해 다음 결합은 G6PDH를 25% carbitol-Tris buffer에 섞고, ice-bath에서, pH9로 유지하며 T<sub>3</sub>-NHS를 DMF

에 녹인 용액을 micro-pipetter로 소량씩 가해주었다. T<sub>3</sub>-NHS 용액을 가해가며 酵素活性을 檢査했고, 효소의 활성이 약 30% 남고(처음 효소액에 비교), 또 항T<sub>3</sub>항체(S2015)에 의해 50% 정도

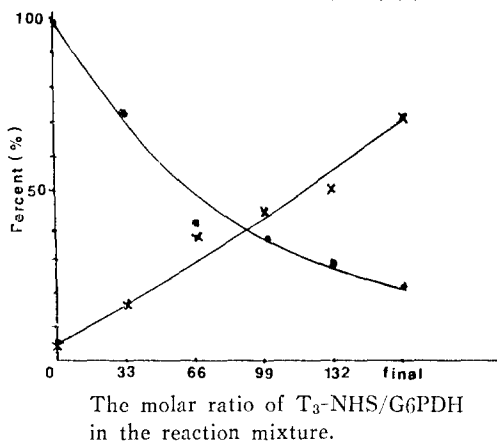


Fig. 1—Residual activity (●—●) of the T<sub>3</sub>-G6PDH during the conjugation process I and inhibition (x—x) of the conjugate activity by an excess anti-T<sub>3</sub> antibody(S2015).

활성에 비해 22% 정도의 활성이 남았고(每단계에서 100%回收 했다고 가정하고 계산했음), 항 T<sub>3</sub>항체에 의해서 효소활성이 71% 억제되었다.

보다 유효성 있는 T<sub>3</sub>-G6PDH를 얻기위해, 다시 말해 효소의 활성은 보다 적게 消失되고, 그리고 항T<sub>3</sub>항체에 의해 보다 활성이 抑制되는 결합체를 얻기 위해 反應條件들 pH, T<sub>3</sub>-NHS 대 G6PDH의 反應 比率, 基質 G6P(G6P가 효소결합체를 安定化 시킨다고 보고 되어 있음) 존재를 재고하며 반응들을 반복해 보았다.

먼저 T<sub>3</sub>-NHS와 G6PDH의 반응 比率를 50, 100, 200, 및 400배로 하고, 그밖의 조건은 전과 같이 하고 반응을 시도했다. 200배 이상의 T<sub>3</sub>-NHS를 반응시킬 때는 효소의 活性이 거의 소실되어 實用性이 없었고, 대부분의 경우 100배의 T<sub>3</sub>-NHS를 반응시킬 때 20% 정도의 효소활성이 남고, 90% 정도(S2013F)의 효소활성 저해를 갖어움을 알게 되었다(T<sub>3</sub>-G6PDH 결합체 II).

다음으로 反應液의 pH가 높으면 효소 활성이 소실됨으로 반응 pH를 되도록 낮추기 위해 pH 8과 9에서 각각 결합을 시켜보았다. pH 8에서 예견대로 효소의 활성은 많이 保存되는데, 얻어진 결합체가 抗體에 의해서 活性沮害를 적게 받았다(抗體 S2013에 의해 pH 8에서 얻은 결합체는 40%억제, pH 9에서 형성된 것은 90% 억제)

끝으로 결합반응을 基質 G6P 존재하에 시도 했다. 결과적으로 活性이 보다 적게 감소되고, 그

Table I—Various T<sub>3</sub>-G6PDH conjugates.

T <sub>3</sub> -G6PDH conjugate	Reaction pH	T <sub>3</sub> -NHS/G6PDH	Remained activity %	Inhibition % (S2633)
I	9	132	22	35
II	9	100	20.6	44.4
III	9	250 (with G6P)	30.8	43.3

리면서 항체에 의해서 보다 활성이 억제되는 결합체를 얻게되었다(T<sub>3</sub>-G6PDH 결합체 III). 이와 같이 여러 反應條件 하에서 얻은 결합체들을 Table I에 모아 놓았으며, 아래에 가장 效果的인 결합체를 얻는 상세한 實驗過程을 예로 보았다.

이렇게 해서 얻은 결합체들의 酵素反應性은 5時間 동안 일정한 linear 상태를 보였으며, 4°C에서 8週間 活性에 변화 없이 안정했다.

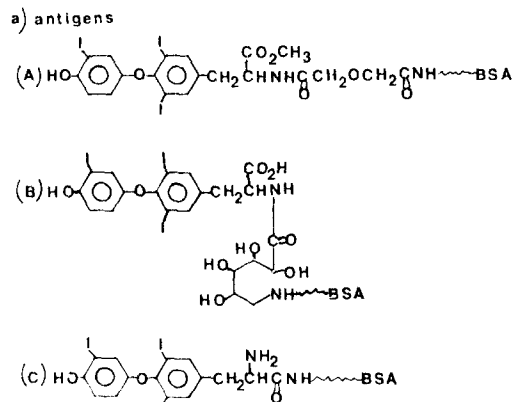
**T<sub>3</sub>-G6PDH 結合反應**—G6PDH 저장용액(2.76mg/ml) 7ml\*를 ice-bath에서 냉각·저어 주며 Tris buffer-carbitol(0.5ml—2.5ml 각각) 혼액을 syringe-pump로 약 20분에 걸쳐 혼합했다. 이 혼합액을 3N NaOH溶液으로 pH9로 조절하였다. 건조 DMF 300μl에 27.9mg의 T<sub>3</sub>-NHS를 녹인 용액을 140μl 취해(T<sub>3</sub>-NHS/G6PDH=100) micro-pipetter로 80분에 걸쳐 위의 酵素溶液에 혼합해 주었다. 이 反應液을 冷室에서 교반하며 하루밤 동안 반응시킨 후, 침전을 원심분리 제거했다. 용액(9.3ml)을 Tris buffer를 써서 sephadex G-25 column(120ml)을 통해 정제해 28ml의 酵素液을 얻었다. 이 효소액을 3.6N NH<sub>2</sub>OH(pH 8.53) 8ml와 혼합, 상온에서 1.5時間 반응시킨 후, 다시 원심분리 했다. 上等液中 18.5ml를 다시 Sephadex G-25 column(230ml) 및 Tris buffer를 써서 정제해서 최종 T<sub>3</sub>-G6PDH(結合體 II, 37.5ml)을 얻었다. 이 結合體는 1:20로 희석해서 50μl를 취해 일반 활성 측정 조건하에서(단 時間은 반응시작 10초에서 60초 간에 반응물 측정) 측정할 때 EMIT unit 1059의 반응물을 보였고, 항체(S2633, 50μl)에 의해 44.4% 억제를 보였다.

\*반응액에 G6P를 첨가해 줄 경우에는 200mg의 G6P를 0.2N NaOH 1ml에 녹여, 이 용액에 첨가해 주고, 다음의 반응은 대부분 같고, T<sub>3</sub>-NHS/G6PDH 比를 250되게 T<sub>3</sub>-NHS를 반응액에 가해주었다.

**抗T<sub>3</sub>抗體 Screening**—既存 항T<sub>3</sub>항체들에 의한 T<sub>3</sub>-G6PDH의 活性 抑制率을 검사하였다. Table II에서 보는바와 같이 대개의 항체들은 T<sub>3</sub>-G6PDH I의 활성을 40~70% 억제시키며, 항체 단백질이 효소자체의 활성을 일부는 감소시킴을 볼 수 있다.

**Table II**—Screening of inhibition activities of anti-T<sub>3</sub> antibodies upon T<sub>3</sub>-G<sub>6</sub>PDH I and G6PDH activities.

Antigen <sup>a)</sup>	Antibody	Inhibition of T <sub>3</sub> -G6PDH I (%)	Inhibition of G6PDH (%)
A	S782	58.0	1.4
A	S783	56.5	5.1
A	S784	42.0	1.1
B	S2016F	70.3	4.3
B	S2013F	77.5	6.9
B	S2015F	67.4	3.7
B	S2691P	55.8	5.7
B	S2633G	35.0	—
C	S2012	71.0	5.4
C	S2009	63.0	4.6
C	S2011	46.4	4.3
C	S2008	60.1	6.3



**EMIT<sup>®</sup>-T<sub>3</sub> 분석을 위한 標準曲線**—合成된 T<sub>3</sub>-G6PDH가 효소활성을 갖으며, 항T<sub>3</sub>항체에

의해 충분히 활성이 감소되므로(S2633G, 40% 정도), EMIT-T<sub>3</sub> 분석은 本來의 意圖대로 일반

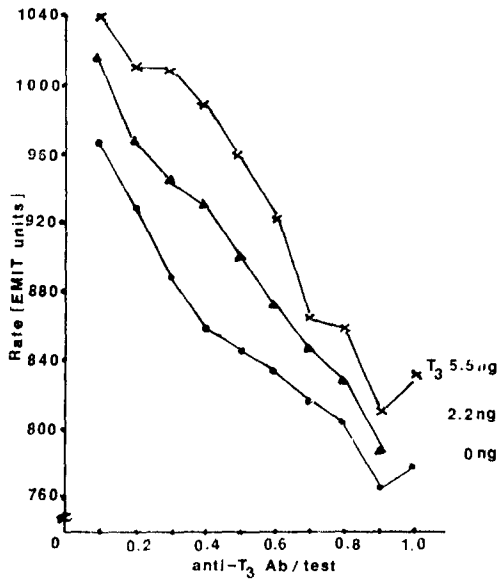


Fig. 2—The activity changes of T<sub>3</sub>-G6PDH conjugate (I) with T<sub>3</sub> 0ng/test (●—●), 2.2 ng/test (▲—▲), and 5.5ng/test (×—×) by different amounts of anti-T<sub>3</sub> Ab(S2633 G).

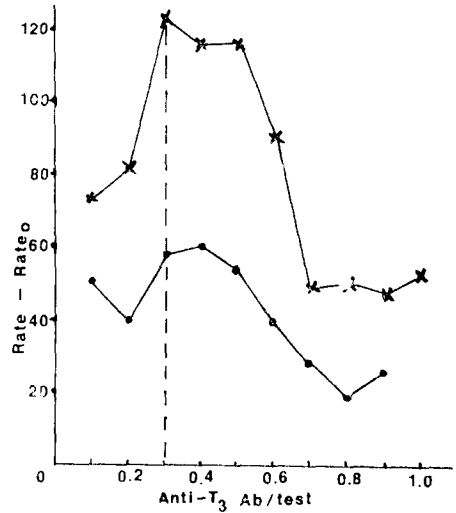


Fig. 3—The differences of reaction rates of T<sub>3</sub>-G6PDH conjugate between T<sub>3</sub> 0 to 2.2ng /test (●—●) and 0 to 5.5ng/test(×—×) in the different amount of anti-T<sub>3</sub> Ab (S2633G).

적인 EMIT®분석과 같은 原理하에 시도되었다. 床的으로 중요시 고려되는 T<sub>3</sub>濃度 0~5ng/ml 範圍內에서 충분히 分離되는 표준곡선을 얻는 일 이다. 그리해 T<sub>3</sub>-G6PDH, 항T<sub>3</sub>항체, 기질·보 조효소량 및 반응 측정 時間을 각각 변해가며 최대의 分離條件을 찾으려 했다.

먼저 一定量의 T<sub>3</sub>-G6PDH(EMITunit로 1000 의 반응률을 갖는 量)과 표준 T<sub>3</sub> 0, 2.2ng 및 5.5ng/ml 存在하에 抗體量변화에 따른 T<sub>3</sub>-GP-6DH의 活性變化를 보고자 했다. Fig. 2에서 보는 바와 같이 각 경우 T<sub>3</sub>-G6PDH의 환성은 항체가 증가함에 따라 減少함을 보였다. 이 結果를 각 항체 존재하에 T<sub>3</sub> 0ng와 2.2ng/ml 및 5.5ng/ml 間에 分離狀況(T<sub>3</sub>-G6PDH 反應 Rate<sub>2.2</sub>-Rate<sub>0</sub> 또는 Rate<sub>5.5</sub>-Rate<sub>0</sub>)을 계산해 Fig. 3에 나타내었다. 이 그림에서 보는 바와 같이 T<sub>3</sub> 측정은 항체 0.3μl에서 최대 分離를 보임을 알게 되었다.

위의 結果를 이용 같은 T<sub>3</sub>-G6PDH量과 기 질·효소량 및 0.3μl 항체를 써서 T<sub>3</sub> 0ng에서

여기서 問題는 적절한 분석 protocol을 세워 臨 範圍內에서 충분히 分離되는 표준곡선을 얻는 일

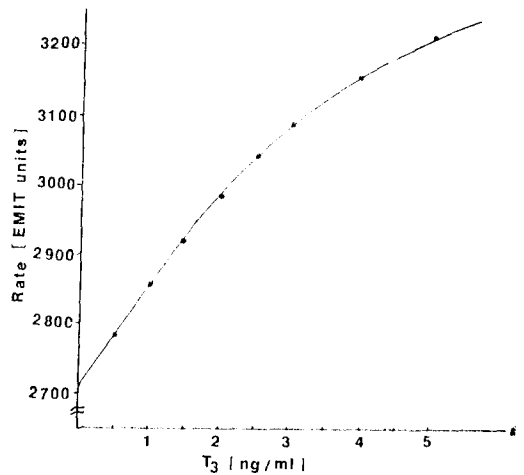


Fig. 4—Standard curve for T<sub>3</sub> assay. The reaction rate was measured by Gilford III in each T<sub>3</sub> concentration with 0.3μl Ab(S2633G), 100μl G6P-NAD solution, 1.33μl T<sub>3</sub>-G6 PDH (I), Tris buffer (total volume 1.8 ml), at 30°C for 15min.

5ng/ml間에 EMIT unit로 100의 分離를 보이는 표준곡선을 얻을 수 있었다. 이와 같이 各 要因을 계속 바꾸어 가며 최대조건을 찾은 결과 Fig. 4에서 보는 바와 같은 0~5ng T<sub>3</sub>/ml 間에 EMIT unit 499의 分離를 보이는 표준곡선을 얻게 되었다.

### 結 論

反復된 결합반응 結果 T<sub>3</sub>-NHS를 G6PDH에 結合시켜, 實用性 있는 T<sub>3</sub>-G6PDH 結合體를 얻게 되었다. 현재까지 가장 效果的인 結合體를 얻을 수 있었던 過程은 효소 G6PDH를 25% carbitol-Tris buffer 용액에 녹이고, pH 9, 0°C에서 T<sub>3</sub>-NHS를 DMF용액으로 해서 효소량의 100배 정도로 가해주고, 하루 반응시킨 후, 遠心分離, NH<sub>2</sub>OH 처리, Sephadex G-25처리를 하는 것이었다.

이렇게 해서 얻은 결합체는 대개 本來酵素活性의 20%정도를 保有하고, 抗T<sub>3</sub>抗體에 의해 활성이 40~70%정도 抑制되었다. 이 T<sub>3</sub>-G6PDH 結合체의 反應性을 5時間 동안 조사한 결과 계속 linearity를 보였으며, 4°C에서 8週間 조사한 結果 變化가 없었다.

한편 얻어진 T<sub>3</sub>-G6PDH 結合體와 기존 抗 T<sub>3</sub>抗體 (S2633 G)를 이용해 臨床적으로 중요하게 고려되는 T<sub>3</sub>濃度(0~5ng/ml) 範圍에서 499 EMIT unit 分離를 보이는 標準曲線을 얻었다.

以上과 같은 結果는 前에 T<sub>3</sub>-MEMIDA/MDH system을 갖고 시도 했을 때 보다 約 1.4배 分離能의 增加를 보이는 것으로 EMIT-T<sub>3</sub> 分析 및 더 나아가 EMIT-유리 TBG 分析 實效 可能性을 보여주는 것으로 研究는 進行되고 있다. 견해서보다 效果的인 抗T<sub>3</sub>抗體 大量生産도 시도되고 있다.

### 文 獻

1. F.V. Lente and R.S. Galen, Determination of thyroxine by enzyme-immunoassay, in *Enzyme Immunoassay*, E.T. Maggio Ed, CRC Press (1980) p. 135.
2. J.C. Travis, *Rx RIA for Physicians*, Scientific Newsletter, Inc., Part I. Thyroid Profiles Series. Triiodothyronine, Vol. 1, No. 3, May (1976).  
Part II. Tests of serum thyroxine binding capacity, Vol. 1, No. 5, August (1976).  
Part III. Thyroid stimulating hormone, Vol. 1, No. 7, October (1976).  
Part IV. Thyroxine Vol. 2, No. 1, January (1977).
3. A.A.M. Raouf, M.J. Geisow, P.O. Gorman, P. Marsden, and P.J.N. Howorth, A method for the preparation of human thyroxine-binding globulin; Its importance in the establishment of an accurate and specific radioimmunoassay. *Clinica Chimica Acta*, **104**, 25(1980).
4. E.F. Ullman, J. Blakemore, R.K. Leute, W. Eimstad, and A.P. Jaklitsch, Homogeneous immunoassay for thyroxine. *Clin. Chem.* **21**, 1011 (1975).
5. A.P. Jaklitsch, R.S. Schneider, R.J. Johannes, J.E. Lavine, and G.L. Rosenberg, Homogeneous enzyme immunoassay for T<sub>4</sub> in serum. *Clin. Chem.*, **22**, 1185 (1976).
6. R.S. Schneider, P. Lindquist, E.T. Wong, K.E. Rubenstein, and E.F. Ullman, Homogeneous enzyme immunoassay for opiates in urine. *Clin. Chem.*, **19**, 821(1973).
7. I. Gibbons, C. Skold, G.L. Rowley, and E.F. Ullman, Homogeneous enzyme immunoassay for proteins employing  $\beta$ -galactosidase. *Anal. Biochem.*, **102**, 167 (1980).
8. E.F. Ullman and E.T. Maggio, *Enzyme-immunoassay: principles and practice*. Syva Co. Report May (1979).
9. R.S. Schneider, D.S. Kabakoff, H.M. Greenwood, Recent developments in homogeneous immunoassay

- techniques. Syva Co. Report. May (1979).
10. D.S. Kabakoff, Chemical aspects of enzyme-immunoassay, in *Enzyme Immunoassay*. E.T. Maggio Ed., CRC Press (1980) p. 71.
  11. V.R. Spiehler, D. Reed, R.H. Cravey, W.R. Wilcox, R.F. Shaw, and S. Holland, Comparison of results for quantitative determination of morphine by radioimmunoassay, enzyme immunoassay, and spectrofluorometry. *J. Forensic Sci.*, **20**, 647 (1976).
  12. J.J. Chang, C.P. Crowl, and R.S. Schneider, Homogeneous enzyme immunoassay for digoxin, *Clin. Chem.*, **21**, 967 (1975).
  13. K. Chegwiddden, M.R. Pirio, P. Singh, J.B. Gushaw, J.G. Miller, R.S. Schneider, *Clin. Chem.*, **24**, 1056 (1978).
  14. G.L. Rowley, K.E. Rubenstein, S.T. Weber, and E.F. Ullman, Mechanism by which antibodies inhibit haptin-glucose-6-phosphate dehydrogenase, in *Abstracts of the 172nd American Chemical Society National Meeting*, San Francisco, August 29, 1976, Biological Chemistry Section, Abstract No. 151.

本論文은 著者가 Syva Company(California, USA)에 근무시 수행된 것이다.